

**Waveletové Rady  
Diskrétna WT**

=

**Dyadická DWT** =

**Iterované  
Banky filtrov**



**Iterovaná  
2-pásmová  
Banka filtrov**

**Banky  
Filtrov**

# Banky filtrov a systémy s rôznym taktovaním

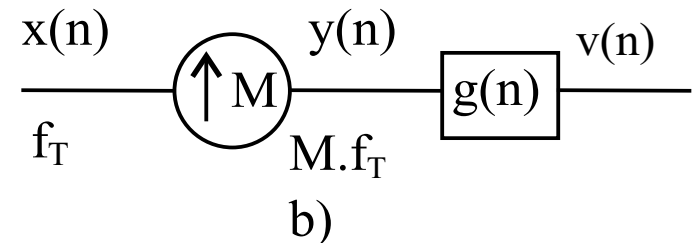
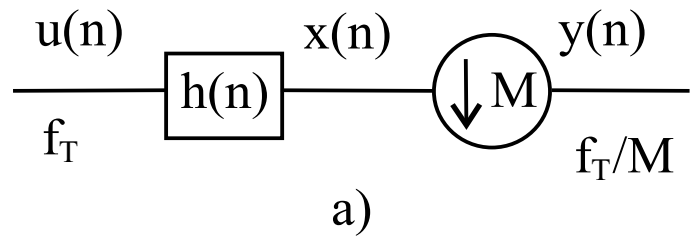
V *systémoch s rôznym taktovaním (SRT, “multirate systems”)* sú vzorky signálu spracovávané v častiach systému s rôznymi *taktovacími frekvenciami*. Zmeny taktovacej frekvencie sú uskutočnené operáciami *decimácie* a *interpolácie*.

**Decimácia** je proces redukcie vzorkovacej frekvencie celočíselným faktorom M. Najprv je signál  $u(k)$  filtrovaný *antialiasingovým* filtrom prípadne ideálnym DP filtrom s hranicou prepúšťania  $\Omega_0 = \pi / M$  a impulzovou charakteristikou  $h(n)$  a potom je podvzorkovaný. Výsledok po decimácii je:

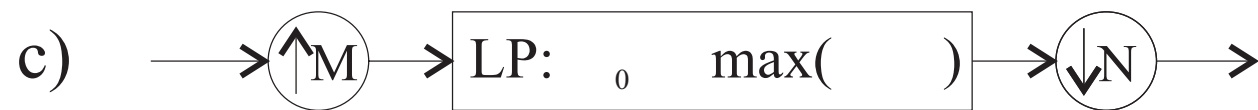
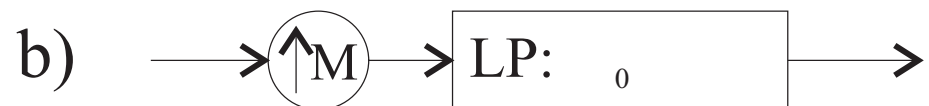
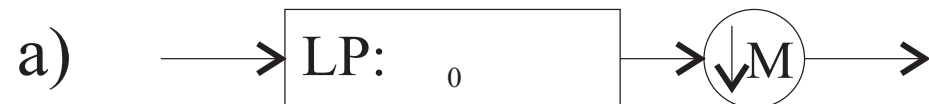
$$y(n) = \sum_k h(Mn - k)u(k)$$

**Interpolácia** je proces zvýšenia taktovacej frekvencie signálu celočíselným faktorom M. Signál  $x(k)$  je najprv nadvzorkovaný (vložením  $M - 1$  núl medzi každé 2 vzorky) a potom interpolovaný filtrom (napr. ideálnym DP s  $\Omega_0 = \pi / M$ ) s imp. charakteristikou  $g(n)$ . Výsledný signál po interpolácii je:

$$v(n) = \sum_k g(n - Mk)x(k)$$



*Operácie v SRT a) decimácia b) interpolácia*

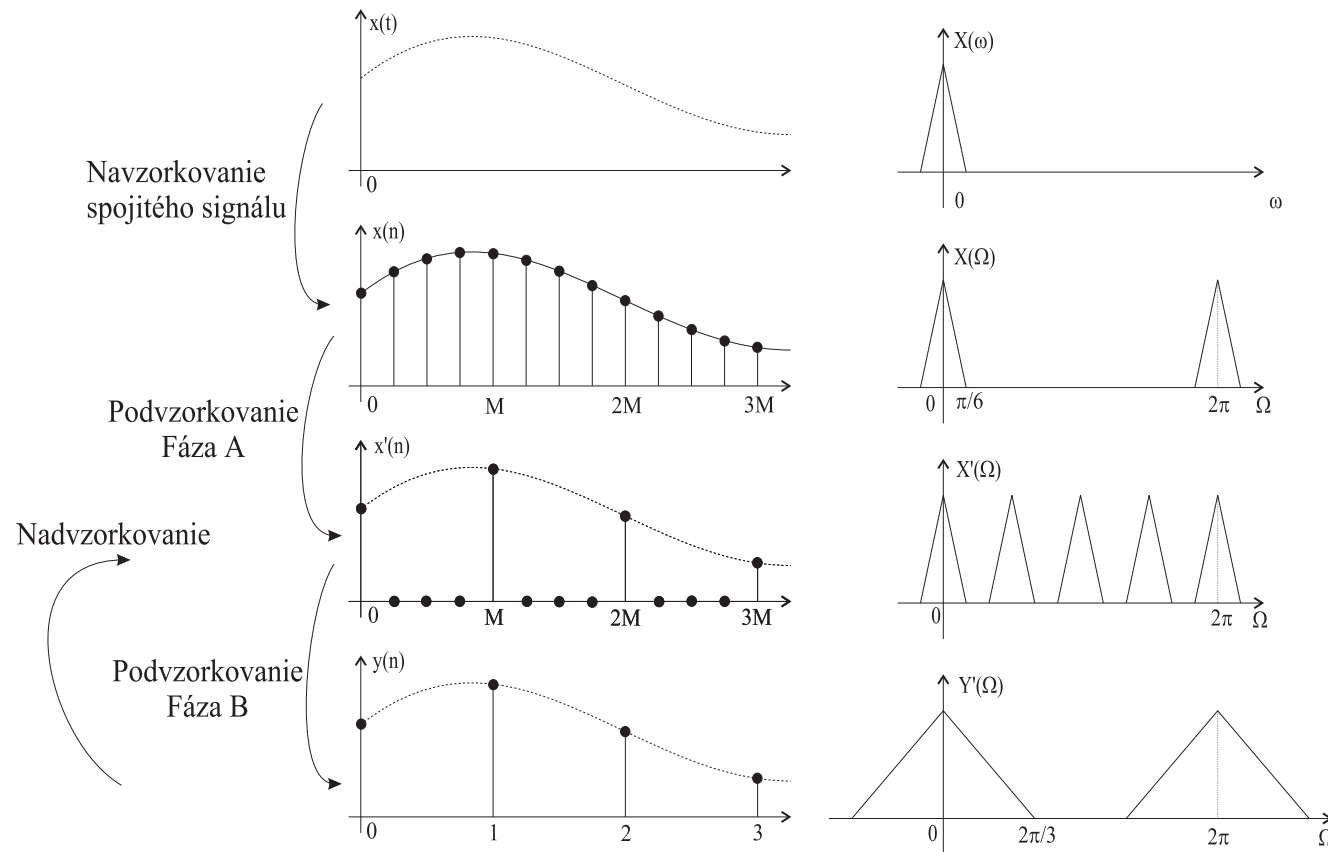


Požadovaný typ filtra pri : a) decimácii b)interpolácií c) zmene taktovacej frekvencie faktorom  $M/N$

# Podvzorkovanie signálu

Z pôvodného signálu zachovávame iba každú  $M$ -tú vzorku. Pre vstupný signál  $x(n)$  je výstup daný  $y(n) = x(Mn)$

Čo vo frekvencii odpovedá (znázornené pre  $M=4$ ):



Proces podvzorkovania  $x(n)$  môžeme popísat' v dvoch fázach:

A) vynulovanie nepotrebných zložiek (násobenie Kroneckerovými impulzami)

$$x'(n) = x(n) \sum_{r=-\infty}^{\infty} \delta(n - rM) = x(n) \frac{1}{M} \sum_{k=0}^{M-1} e^{j \frac{2\pi}{M} nk}$$

Z transformáciou dostaneme:

$$X'(z) = \frac{1}{M} \sum_{k=0}^{M-1} Z \left\{ x(n) \left( e^{j \frac{2\pi}{M} k} \right)^n \right\} = \frac{1}{M} \sum_{k=0}^{M-1} X(zW^k)$$

, kde  $W = e^{-j2\pi/M}$ . Tomu opovedá frekvenčná charakteristika (pri  $z = e^{j\Omega}$ )

$$X'(\Omega) = \frac{1}{M} \sum_{k=0}^{M-1} X\left(\Omega - \frac{2\pi}{M} k\right)$$

**T.j. výsledné spektrum je sumou M pôvodných spektier, posunutých zakaždým o  $2\pi/M$ .**

B) Zmena mierky, resp. roztahnutie signálu  $x'(n)$

$$Y(z) = \sum_{n=-\infty}^{\infty} x'(Mn)z^{-n} = \sum_{k=-\infty}^{k} x'(k)\left(z^{\frac{1}{M}}\right)^{-k} = X'\left(z^{\frac{1}{M}}\right) \quad Y(\Omega) = X'(\Omega/M)$$

Výsledkom podvzorkovania teda je:

$$Y(z) = \frac{1}{M} \sum_{k=0}^{M-1} X\left(z^{\frac{1}{M}} W^k\right)$$

$$Y(\Omega) = \frac{1}{M} \sum_{k=0}^{M-1} X\left(\frac{\Omega - 2k\pi}{M}\right)$$

## Nadvzorkovanie signálu.

Pri nadvzorkovaní signálu vkladáme medzi jeho vzorky zakaždým  $M-1$  núl. Teda pre vstupný signál  $x(n)$  je výstup daný:

$$y(n) = x(n/M)$$

Proces je opačný ako pri fáze B podvzorkovania, t.j na intervale vznikne  $M-1$  obrazov spektra pôvodného signálu  $x(n)$  :

$$\begin{aligned} Y(z) &= \sum_{n=-\infty}^{\infty} x(n/M) z^{-n} = \sum_{k=-\infty}^k x(k) (z^M)^{-k} = X(z^M) \\ Y(\Omega) &= X(M\Omega) \end{aligned}$$

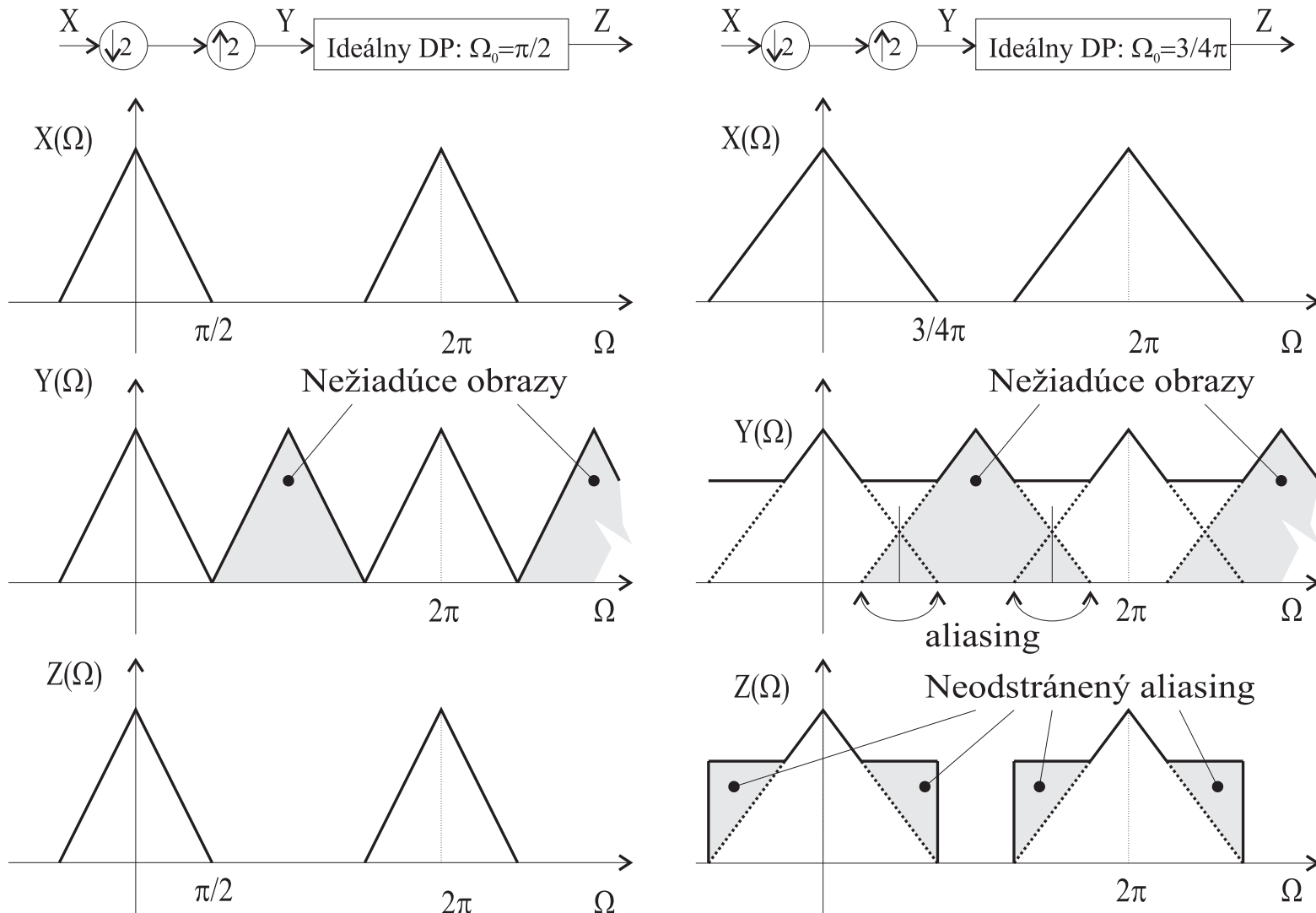
Úlohou interpolačného filtra je odstrániť týchto  $M-1$  obrazov.

# Ekvivalentné štruktúry v SRT

$M, N$  nesúdeliteľné

$$\begin{array}{c} \xrightarrow{\quad} \textcircled{\downarrow M} \xrightarrow{\quad} \textcircled{\uparrow N} \xrightarrow{\quad} = \xrightarrow{\quad} \textcircled{\uparrow N} \xrightarrow{\quad} \textcircled{\downarrow M} \xrightarrow{\quad} \\ \xrightarrow{\quad} \textcircled{\downarrow M} \xrightarrow{\quad} \boxed{H(z)} \xrightarrow{\quad} = \xrightarrow{\quad} \boxed{H(z^M)} \xrightarrow{\quad} \textcircled{\downarrow M} \xrightarrow{\quad} \\ \xrightarrow{\quad} \boxed{H(z)} \xrightarrow{\quad} \textcircled{\uparrow N} \xrightarrow{\quad} = \xrightarrow{\quad} \textcircled{\uparrow N} \xrightarrow{\quad} \boxed{H(z^N)} \xrightarrow{\quad} \end{array}$$

# Podvzorkovanie a následné nadvzorkovanie signálu



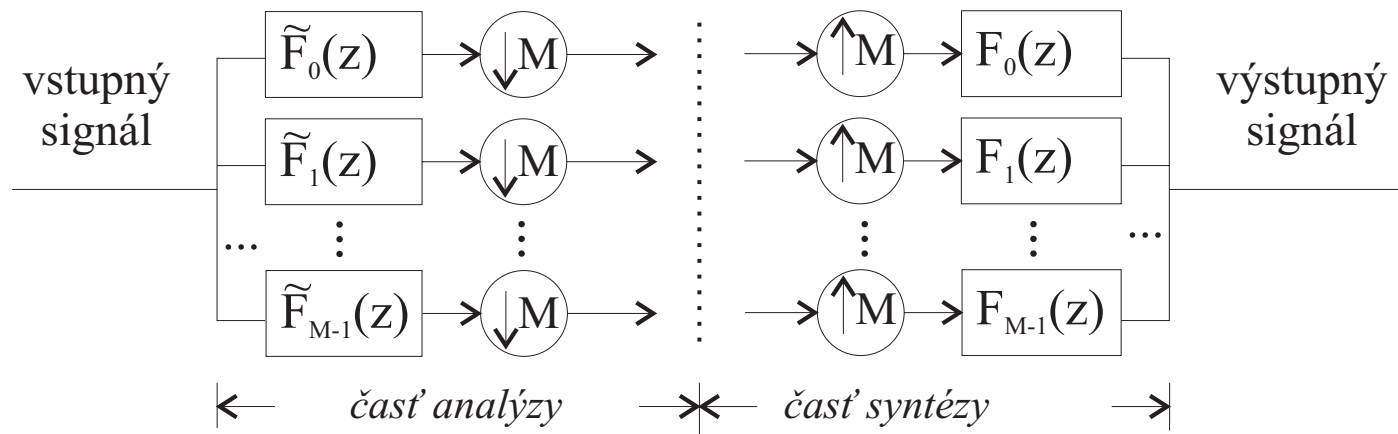
- Vidíme, že po podvzorkovaní a následnom nadvzorkovaní vieme bezchybne zrekonštruovať iba signál frekvenčne ohraničený po  $\Omega_0 = \pi / M$ .
- Ináč vzniká tzv. **aliasing** (sčítavanie zrkadlových spektrálnych zložiek signálu), ktorý nevieme odstrániť.

Ako po podvzorkovaní zrekonštruovať ľubovoľný signál?

→> Riešením je banka filtrov.

# Banka filtrov

Definícia: **Banka filtrov (BF)** je sústava, v ktorej filtre, použité v operáciach decimácie a interpolácie, umožňujú signál rozložiť (analýza) na **subpásma** a späť zložiť (syntéza).



Všeobecná schéma  $M$ -pásmovej banky filtrov s **kritickým podvzorkovaním**

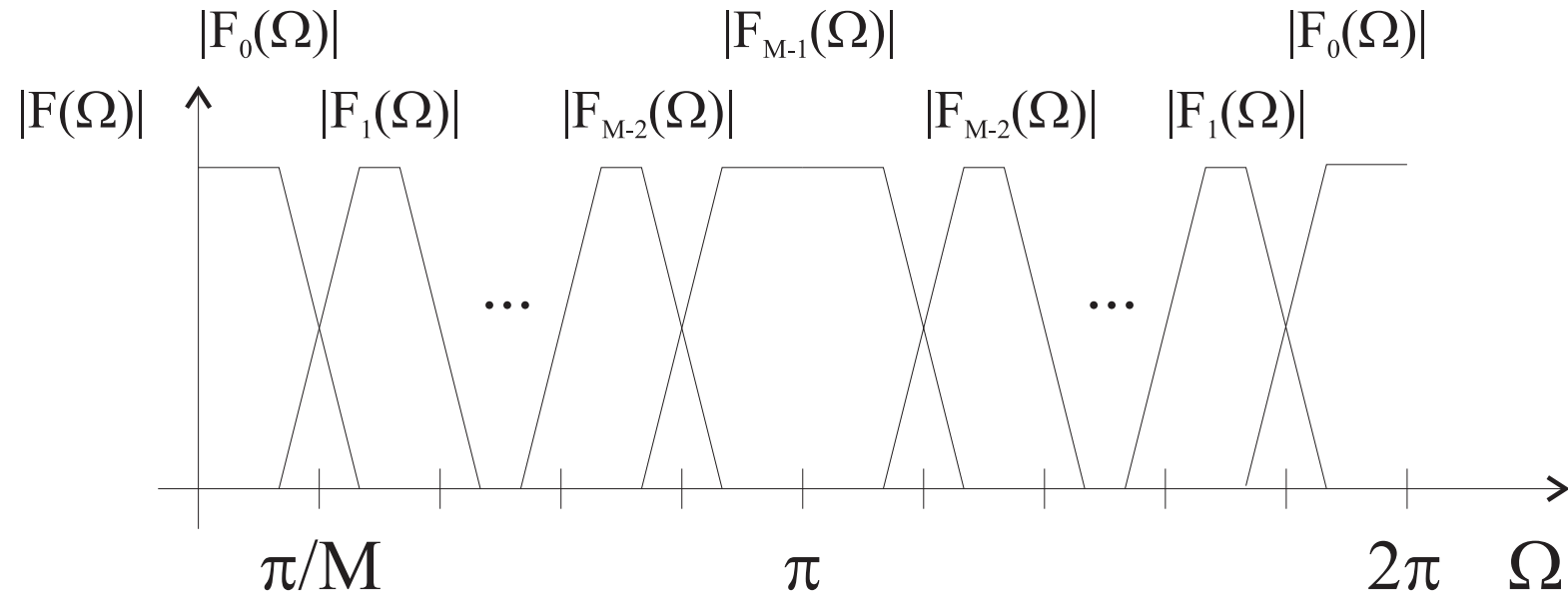
- Signál je rozdelený filtrami pre analýzu  $\tilde{F}_k$  na  $M$  časti (**subpásia**) a následne podvzorkovaný – **analýza signálu**
- Signál zrekonštruujeme spätným nadvzorkovaním týchto dvoch častí, interpoláciou filtrami pre syntézu  $F_k$  nakoniec sčítaním – **syntéza signálu**

Ak je výstupný signál identický so vstupným, potom FB má vlastnosť ***perfektnej(úplnej) rekonštrukcie***.

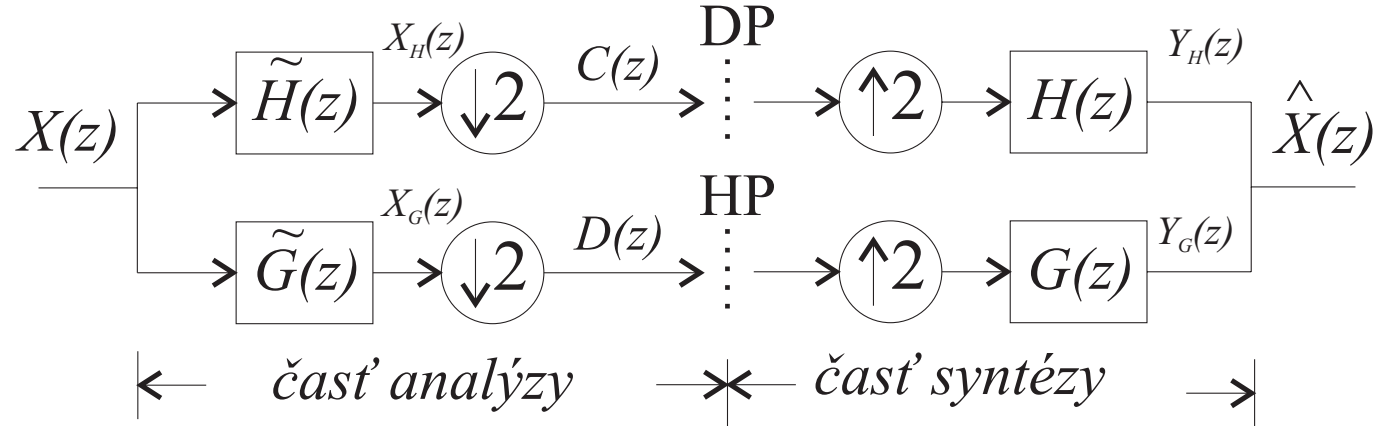
Zvyčajne chceme FB s *rušením aliasingu* a *úplnou rekonštrukciou signálu*.

→ Prenosové funkcie analizačných  $\tilde{F}_k(z)$  resp. syntetizačných filtrov  $F_k(z)$  musia splňať isté podmienky.

Najčastejšie je používané rovnomerné rozdelenie na subpásma v tvare:



# Dvojkanálové banky filtrov



$$\text{Platí(V1):} \quad c(n) = \sum_k \tilde{h}(2n-k)x(k) \quad d(n) = \sum_k \tilde{g}(n-2k)x(k)$$

$$\hat{x}(n) = \sum_k h(n-2k)c(k) + \sum_k g(n-2k)d(k)$$

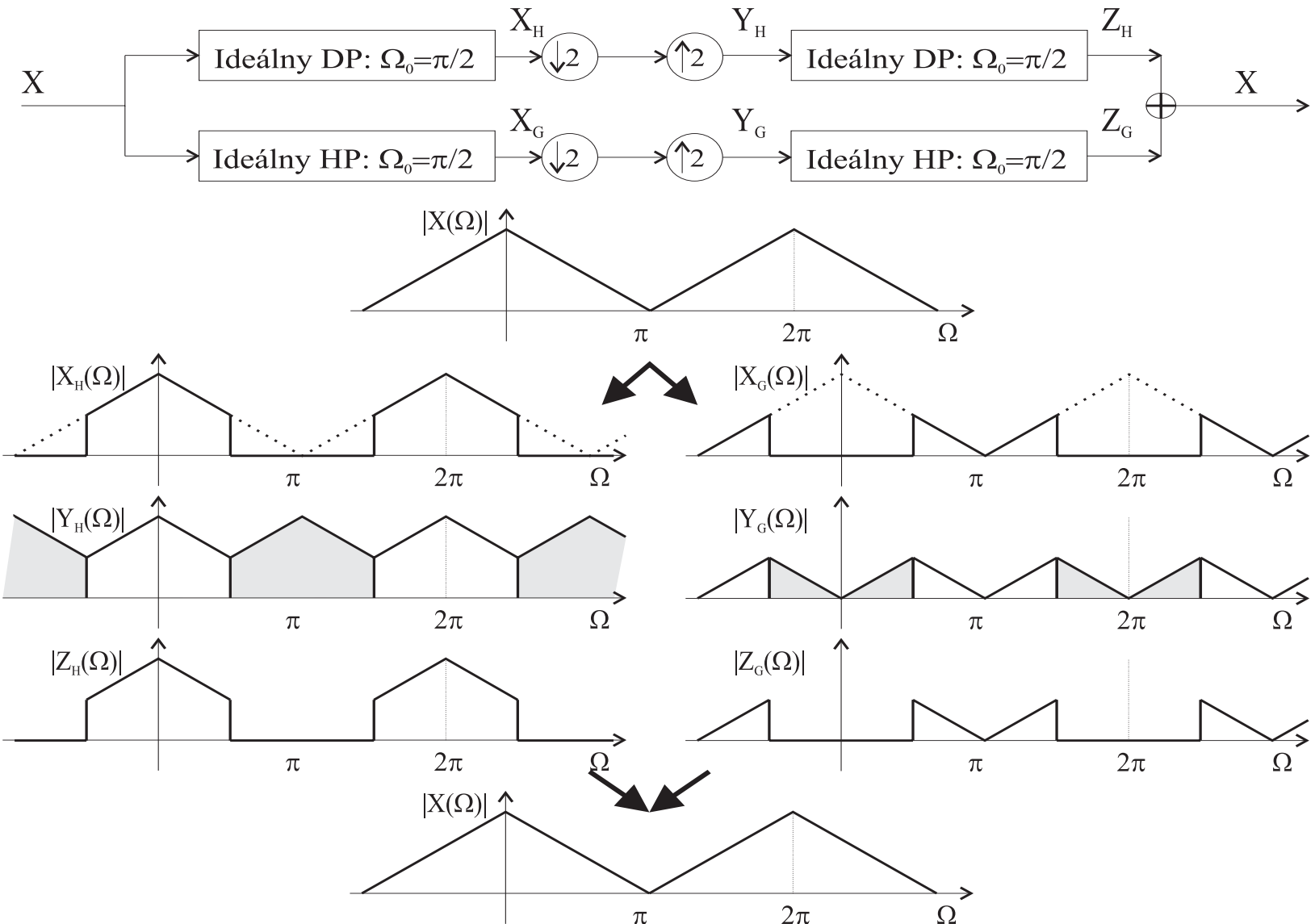
$$\text{DWT(V2):} \quad c_{m+1}(n) = \sum_k \tilde{h}_{mr}(k-2n)c_m(k) \quad d_{m+1}(n) = \sum_k \tilde{g}_{mr}(k-2n)c_m(k)$$

$$c_m(n) = \sum_k h_{mr}(n-2k)c_{m+1}(k) + \sum_k g_{mr}(n-2k)d_{m+1}(k)$$

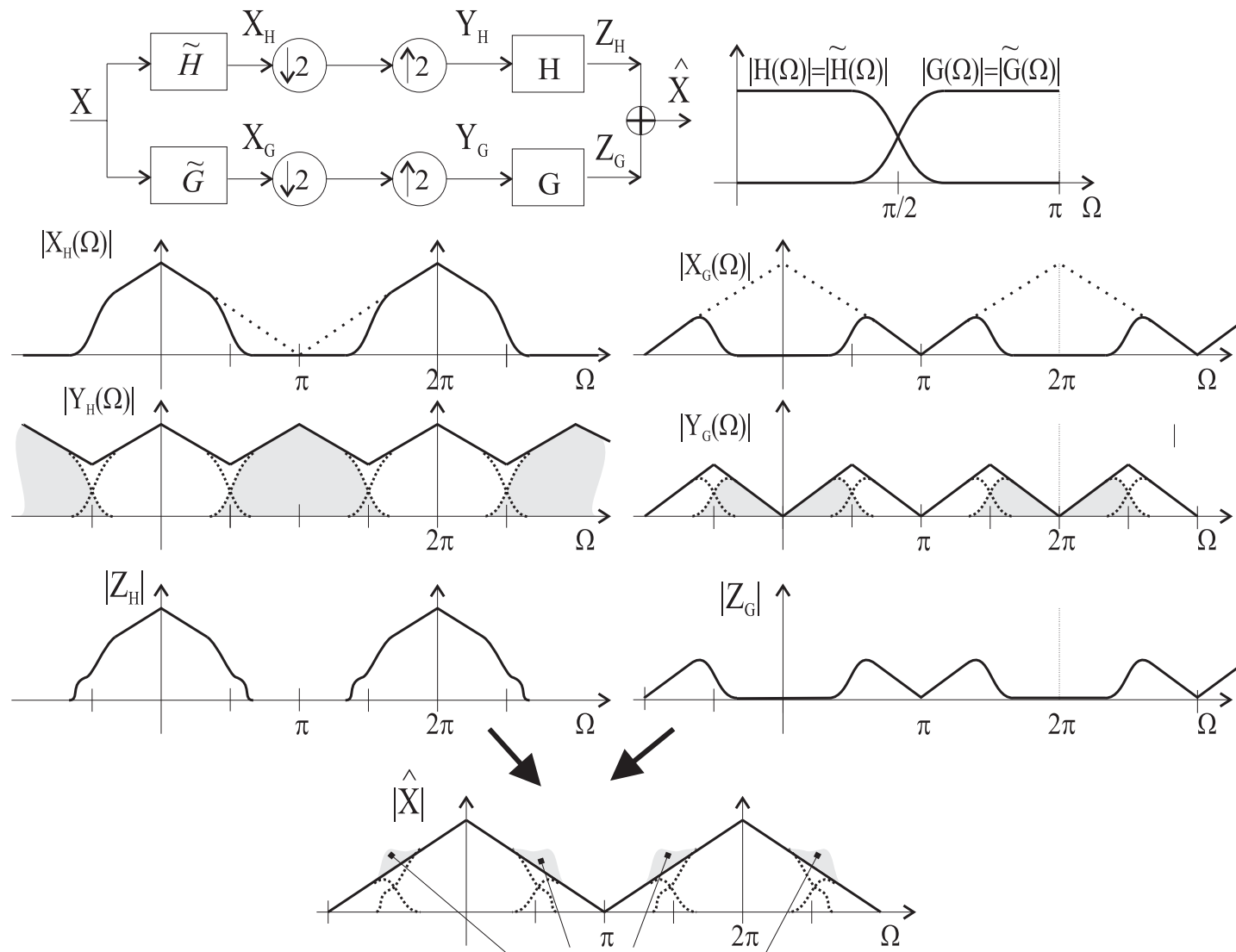
T.J.AK	PLATÍ	$\tilde{h}(n) = \tilde{h}_{mr}(-n)$	$h(n) = h_{mr}(n)$
		$\tilde{g}(n) = \tilde{g}_{mr}(-n)$	$g(n) = g_{mr}(n)$

SÚ V1 a V2 TOTOŽNÉ !!!

## Ako dosiahneme úplnú rekonštrukciu?



## Ak filtre nie su ideálne?



Pri úplnej rekonštrukcii sa aliasing z DP a HP časti navzájom eliminuje

Príklad: Ako je eliminovaný aliasing pri Banke Filtrov používajúcu Haarove filtre?

Platí:

$$F(z) = \tilde{H}(z) = 1 + z^{-1}$$

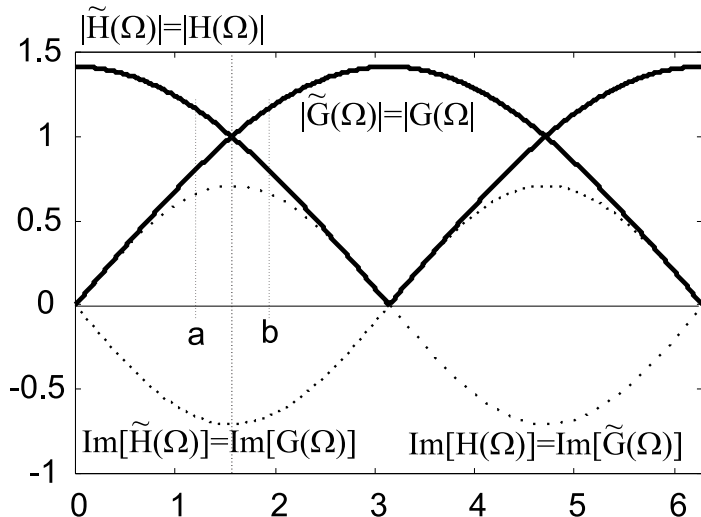
$$H(z) = 1 + z$$

$$\tilde{G}(z) = 1 - z^{-1}$$

$$G(z) = 1 - z$$

Odpovedajúce prenosové charakteristiky:

Aký je prenos signálu  $X(\Omega)$  v bode  $X(a)$ ?

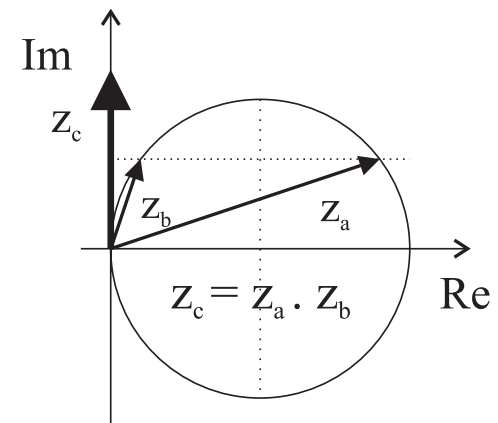


	Po 1. filtrácii	po pod- a nadzorkovaní	Po 2. filtrácii
DP vetva	$X(a)F(a)$	$0.5[X(a)F(a) + X(b)F^*(b)]$	$0.5F^*(a)[X(a)F(a) + X(b)F^*(b)]$
HP vetva	$X(a)F^*(b)$	$0.5[X(a)F^*(b) + X(b)F(a)]$	$0.5F(b)[X(a)F^*(b) + X(b)F(a)]$

T.j výsledok je:

$$0.5X(a)[F^*(a)F(a) + F^*(b)F(b)] + 0.5X(b)[F^*(a)F^*(b) + F(a)F(b)]$$

- prenos  $X(a)$  je jednotkový a reálny (vidno aj z grafu)
- prenos  $X(b)$  je nulový, vyplýva s vlastnosťí súčinu komplexných čísel (vid. obrázok vpravo) a z následného súčtu dvoch imaginárnych čísel s opačným znamienkom



Popisom signálov v oboch vetvách FB dostávame:

$$X_H(z) = X(z)\tilde{H}(z)$$

$$C(z) = \frac{1}{2} \left[ X_H\left(z^{\frac{1}{2}}\right) + X_H\left(-z^{\frac{1}{2}}\right) \right]$$

$$Y_H(z) = C(z^2)H(z)$$

$$\hat{X}(z) = Y_H(z) + Y_G(z) = \dots = \frac{1}{2} [R_p(z)X(z) + R_a(z)X(-z)]$$

$$X_G(z) = X(z)\tilde{G}(z)$$

$$D(z) = \frac{1}{2} \left[ X_G\left(z^{\frac{1}{2}}\right) + X_G\left(-z^{\frac{1}{2}}\right) \right]$$

$$Y_G(z) = D(z^2)G(z)$$

$R_p(z)$  charakterizuje celkový prenos sústavou a  $R_a(z)$  aliasing

$$R_p(z) = \tilde{H}(z)H(z) + \tilde{G}(z)G(z)$$

$$R_a(z) = \tilde{H}(-z)H(z) + \tilde{G}(-z)G(z)$$

Postačujúce podmienky na úplnú rekonštrukciu sú:

1) eliminácia aliasingu  $R_a(z) = 0, \forall z$

2) prenos je nanajvýš oneskorením  $R_p(z) = 2z^{-l}, l \in Z$

Riešením 1. podmienky - eliminácie aliasingu dostaneme napr.:

$$H(z) = \pm cz^m \tilde{G}(-z) \quad G(z) = \mp cz^m \tilde{H}(-z), \quad m \in Z$$

Pri riešení 2. podmienky prepíšeme obe podmienky do maticového tvaru:

$$(H(z) \quad G(z)) \underbrace{\begin{pmatrix} \tilde{H}(z) & \tilde{H}(-z) \\ \tilde{G}(z) & \tilde{G}(-z) \end{pmatrix}}_{\tilde{\mathbf{M}}(z)} = \begin{pmatrix} 2z^{-l} & 0 \end{pmatrix}$$

, kde  $\tilde{\mathbf{M}}(z)$  je *modulačná matica* filtrov pre analýzu. Transponovaním a vynásobením  $(\tilde{\mathbf{M}}^T(z))^{-1}$  zľava dostaneme:

$$\begin{pmatrix} H(z) \\ G(z) \end{pmatrix} = \frac{2z^{-l}}{\det(\tilde{\mathbf{M}}(z))} \begin{pmatrix} \tilde{G}(-z) \\ -\tilde{H}(-z) \end{pmatrix}$$

, pričom platí

$$\det(\tilde{\mathbf{M}}(z)) = -\det(\tilde{\mathbf{M}}(-z))$$

Označme  $P_H(z) = \tilde{H}(z)H(z)$ . Potom použitím predchádzajúcej rovnice dostaneme

$$P_H(-z) = \tilde{H}(-z)H(-z) = \tilde{H}(-z) \left( \frac{2z^{-l} \cdot (-1)^l}{-\det(\tilde{\mathbf{M}}(z))} \tilde{G}(z) \right) = G(z)\tilde{G}(z)(-1)^l$$

dosadením do rovnice pre úplnú rekonštrukciu dostávame:

$$P_H(z) + P_H(-z)(-1)^l = 2z^{-l}$$

Normovaním (centrovaním)  $P_H(z)$  pomocou  $P(z) = z^l P_H(z)$  dostaneme:

$$P(z) + P(-z) = 2$$

T.j. všeobecným riešením podmienky 2 je, aby  $P(z)$  bol tzv. *polpásmový filter*.

Ak chceme naviac sústavu s nulovým oneskorením platia nasledovné tvary vztahov pre elimináciu aliasingu:

$$H(z) = z^{2k-1} \tilde{G}(-z) \quad G(z) = -z^{2k-1} \tilde{H}(-z)$$

## Polpásmový filter

*Polpásmový filter* s prenosovou funkciou  $P(z)$  je FIR filter pre ktorý platí:

$$P(z) = P(z^{-1}) \quad P(z) + P(-z) = 2$$

resp.

$$\begin{aligned} P(e^{j\Omega}) &= P(e^{-j\Omega}) & P(e^{j\Omega}) + P(e^{j(\pi-\Omega)}) &= 2 \\ p(n) &= p(-n) & p(n) + (-1)^n p(n) &= 2\delta(n) \end{aligned}$$

T.j.  $P(e^{j\Omega})$  je reálna párna funkcia  $\Omega$  s nepárnou symetriou okolo bodu  $[\pi/2, 1]$  a pre odpovedajúcu impulzovú charakteristiku  $p(n)$  platí:

$$p(n) = \begin{cases} 1 & n = 0 \\ 0 & n \text{ je párne} \\ p(n) & \text{ináč} \end{cases}$$

## Energeticky komplementárne filtre

Filtre s  $H(z)$  a  $G(z)$  sú *energeticky komplementárne* ak platí:

$$|H(e^{j\Omega})|^2 + |G(e^{j\Omega})|^2 = 2$$

## Riešenie vo forme kvadratúrnych zrkadlových filtrov(QMF)

*Kvadratúrne zrkadlové filtro(QMF)* boli v o BF prvýkrát použité v r.1977 (Esteban, Galand) vol'bou:

$$H(z) = \tilde{H}(z) \quad \tilde{G}(z) = \tilde{H}(-z) \quad G(z) = -\tilde{H}(-z)$$

Aliasing je odstránený, avšak takáto BF podmienku na prenos iba approximuje, t.j. nedosahuje úplnú rekonštrukciu okrem trivialného Haarovho prípadu. Názov *kvadratúrne zrkadlové filtro* pochádza z vlastnosti, že  $\tilde{H}(z)$  a  $\tilde{G}(z)$  majú zrkadlové prenosové funkcie okolo  $\Omega = \pi/2$ , pričom sú energeticky komplementárne.

## Ortogonalne (paraunitárne) riešenie

Nech  $H_0(z)$  je prenosová funkcia a  $h_0(n)$  impulzová charakteristika (párnej dĺžky  $N = 2l$ ,  $l \in \mathbb{Z}$ ) prototypového DP FIR filtra. Potom BF z neho odvodená vzťahmi:

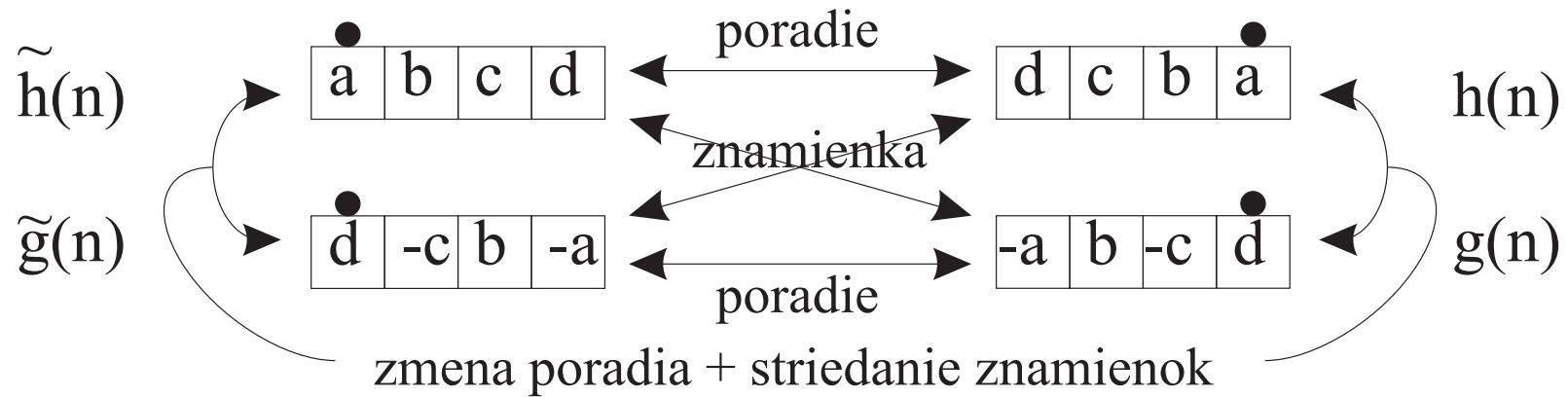
$$\begin{aligned}\tilde{H}(z) &= H_0(z) & H(z) &= \pm z^{2l-1} \tilde{G}(-z) = \tilde{H}(z^{-1}) \\ \tilde{G}(z) &= \mp z^{-(2l-1)} \tilde{H}(-z^{-1}) & G(z) &= \mp z^{2l-1} \tilde{H}(-z) = \tilde{G}(z^{-1})\end{aligned}$$

dosahuje úplnú rekonštrukciu za podmienky, že pre  $h_0(n)$  platí:

$$\sum_n h_0(n) h_0(n-2k) = \delta(k) \quad \sum_n h_0(n) = \sqrt{2}$$

Pre takéto riešenie platí:

- má *nulové oneskorenie* avšak sú tu *nekauzálné časti - filtre pre analýzu a syntézu v oboch vetvách majú impulzové charakteristiky časovo obrátené.*
- Oneskorením nekauzálnych filtrov filtrov (vynásobením členom  $z^{-(2l-1)}$ ) dostaneme kauzálnu BF s oneskorením  $2l-1$ .
- filtre pre analýzu (a analogicky aj pre syntézu) sú ortogonálne navzájom a aj voči svojim párnym posunom.



*Priklad impulzových charakteristik filtrov v ortogonálnej FB s nulovým oneskorením. Bodkou sú označené koeficieny v  $n=0$ .*

**Poznámka:** Ak sústavu začneme navrhovať od syntézy, t.j.  $H(z) = H_0(z)$ , výsledkom je zámena analyzačnej a syntetizačnej časti FB, t.j. vo vzťahoch na výpočet filtrov sa zamení označenie duálnosti.

**Úvaha:** Prečo musia byť filtre  $H(z) = \tilde{H}(z^{-1})$ ,  $G(z) = \tilde{G}(z^{-1})$  takto časovo otočené ?

→ Lebo ináč nemôžu formovať polpásmový filter,  $p(n)$  by nebolo symetrické.

## Biortogonálne riešenie

Biortogonálne riešenie umožňuje návrh 2-kanálových bánk filtrov s FIR filtriemi s *lineárhou fázou* a *rôznymi dĺžkami impulzovej charakteristiky* filtrov pri analýze a syntéze. Aliasing musí byť nulový:

$$H(z) = \pm z^m \tilde{G}(-z) \quad G(z) = \mp z^m \tilde{H}(-z), \quad m \in \mathbb{Z}$$

Filtre v jednotlivých vetvách musia formovať polpásmové filter:

$$P(z) = \tilde{H}(z)H(z) \quad P(-z) = \tilde{G}(z)G(z)$$

Sú možné tieto tvary riešení (formulované pre analyzačné filtre):

- 1) oba filtre sú symetrické, nepárnych dĺžok lísiacich sa o nepárny násobok 2
- 2) jeden filter je symetrický, druhý antisymetrický, oba párnych dĺžok lísiacich sa o párny násobok 2
- 3) jeden filter je nepárnej, druhý párnej dĺžky, oba majú nuly iba na jednotkovej kružnici. Oba sú symetrické alebo jeden je symetrický a druhý antisymetrický.

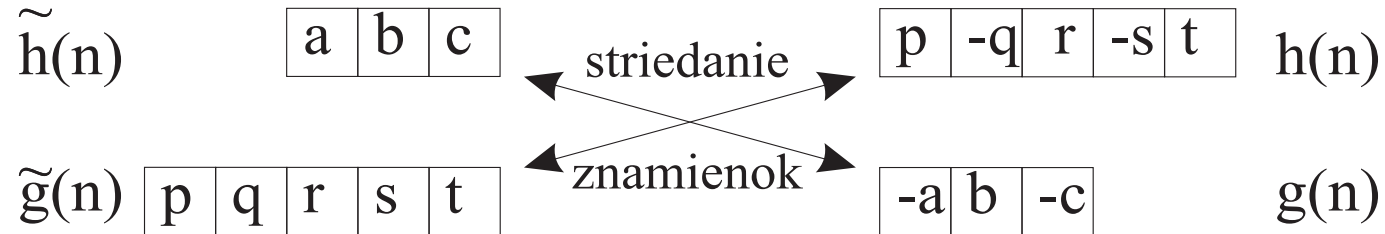
Filtre spĺňajú podmienky biortogonality, t.j. sú ortogonálne k párnym posunom svojich duálov a ortogonálne navzájom „nakríž“:

$$\sum_k h(k) \tilde{h}(2n-k) = \delta(k)$$

$$\sum_k g(k+2m) \tilde{h}(2n-k) = \delta(k)$$

$$\sum_k g(k) \tilde{g}(2n-k) = \delta(k)$$

$$\sum_k h(k+2m) \tilde{g}(2n-k) = \delta(k)$$



*Priklad impulzových charakteristik filtrov v biortogonálnej FB so symetrickými filtromi.*

Riešenie filtrov	analýza	syntéza
symetrické	$\tilde{h}(n)=(1, 2, 1)$ $\tilde{g}(n)=(-1, -2, 6, -2, -1)$	$h(n)=(-1, 2, 6, 2, -1)$ $g(n)=(-1, 2, -1)$
Antisymetrické (Kvadratický spline, rbio2.2)	$\tilde{h}(n)=(1, 3, 3, 1)$ $\tilde{g}(n)=(-1, -3, 3, 1)$	$h(n)=(-1, 3, 3, -1)$ $g(n)=(-1, 3, -3, 1)$

## Maticový tvar 2kanálovaj FB

Pre 2-pásmovú banku filtrov môžeme operácie decimácie (pri analýze) a interpolácie (pri syntéze) rozpísť ako:

$$\begin{aligned}c(n) &= \sum_k \tilde{h}(2n-k)x(k) & d(n) &= \sum_k \tilde{g}(2n-k)x(k) \\ \hat{x}(n) &= \sum_k h(n-2k)c(k) + \sum_k g(n-2k)d(k)\end{aligned}$$

Tieto vzťahy môžeme prepísať do maticového tvaru ako transformácie:

$$\bar{X} = T_a \bar{x} \quad \hat{\bar{x}} = T_s \bar{X}$$

, kde  $\bar{x}$ ,  $\bar{X}$ ,  $\hat{\bar{x}}$  sú stĺpcové vektory vstupného, transformovaného, výstupného signálu a  $T_a$ ,  $T_s$  sú transformačné matice pre analýzu, resp. pre syntézu.

Predpokladajme konečnú dĺžku vstupného signálu a kruhovú konvolúciu vo FB.

Potom  $\bar{x}$ ,  $\bar{X}$ ,  $\hat{\bar{x}}$ ,  $T_a$ ,  $T_s$  môžeme vyjadriť v tvare:

$$\bar{x} = (x(0), x(1), \dots, x(N-1))^T$$

$$\bar{X} = (c(0), c(1), \dots, c(N/2-1), d(0), d(1), \dots, d(N/2-1))^T$$

$$\mathbf{T}_a = \begin{pmatrix} \tilde{\mathbf{H}} \\ \tilde{\mathbf{G}} \end{pmatrix} = \begin{pmatrix} \tilde{h}(0) & \tilde{h}(-1) & \dots & \dots & \dots & \tilde{h}(1) \\ \dots & \tilde{h}(1) & \tilde{h}(0) & \tilde{h}(-1) & \dots & \dots \\ \vdots & \vdots & \vdots & \vdots & \vdots & \vdots \\ \dots & \dots & \dots & \tilde{h}(1) & \tilde{h}(0) & \tilde{h}(-1) \\ \tilde{g}(0) & \tilde{g}(-1) & \dots & \dots & \dots & \tilde{g}(1) \\ \dots & \tilde{g}(1) & \tilde{g}(0) & \tilde{g}(-1) & \dots & \dots \\ \vdots & \vdots & \vdots & \vdots & \vdots & \vdots \\ \dots & \dots & \dots & \tilde{g}(1) & \tilde{g}(0) & \tilde{g}(-1) \end{pmatrix}$$

$$\mathbf{T}_s = (\mathbf{H} \quad \mathbf{G}) = \begin{pmatrix} h(0) & \vdots & \dots & \vdots & g(0) & \vdots & \dots & \vdots \\ h(1) & h(-1) & \dots & \vdots & g(1) & g(-1) & \dots & \vdots \\ \vdots & h(0) & \dots & \vdots & \vdots & g(0) & \dots & \vdots \\ \vdots & h(1) & \dots & h(-1) & \vdots & g(1) & \dots & g(-1) \\ \vdots & \vdots & \dots & h(0) & \vdots & \vdots & \dots & g(0) \\ h(-1) & \vdots & \dots & h(1) & g(-1) & \vdots & \dots & g(1) \end{pmatrix}$$

Matice  $\tilde{\mathbf{H}}, \tilde{\mathbf{G}}$  sú rozmerov  $N \times N/2$ . Ich riadky sú tvorené kruhovým posunom impulzových charakteristík príslušných filtrov. V maticiach  $\mathbf{H}, \mathbf{G}$  sú kruhovým posunom impulzových charakteristík tvorené stĺpce, pričom matice sú rozmerov  $N/2 \times N$ .

Pri úplnej rekonštrukcii bez oneskorenia platí  $\hat{x} = \bar{X}$ . Potom platí

$$\mathbf{T}_a \mathbf{T}_s = \mathbf{I}_N = \mathbf{T}_s \mathbf{T}_a$$

Vyjadrite:

$$\mathbf{I}_N = \begin{pmatrix} \mathbf{I}_{N/2} & \mathbf{0}_{N/2} \\ \mathbf{0}_{N/2} & \mathbf{I}_{N/2} \end{pmatrix} = \mathbf{T}_a \mathbf{T}_s = \begin{pmatrix} \tilde{\mathbf{H}} \\ \tilde{\mathbf{G}} \end{pmatrix} (\mathbf{H} \quad \mathbf{G}) = \begin{pmatrix} \tilde{\mathbf{H}}\mathbf{H} \\ \tilde{\mathbf{G}} \end{pmatrix} (\mathbf{H} \quad \mathbf{G}) = \begin{pmatrix} \tilde{\mathbf{H}}\mathbf{H} & \tilde{\mathbf{H}}\mathbf{G} \\ \tilde{\mathbf{G}}\mathbf{H} & \tilde{\mathbf{G}}\mathbf{G} \end{pmatrix}$$

z čoho vyplýva:

$$\tilde{\mathbf{H}}\mathbf{H} = \tilde{\mathbf{G}}\mathbf{G} = \mathbf{I} \quad \tilde{\mathbf{H}}\mathbf{G} = \tilde{\mathbf{G}}\mathbf{H} = 0$$

T.j. impulzové charakteristiky filtrov sú ortogonálne k párnym posunom svojich duálov a ortogonálne navzájom „nakríž“ = *vyjadrenie biortogonality*.

Naopak :

$$\mathbf{I}_N = \mathbf{T}_s \mathbf{T}_a$$

vyjadruje podmienky pre *elimináciu aliasingu* v časovej oblasti.

## K spôsobu tvorenia matíc $\tilde{\mathbf{H}}, \tilde{\mathbf{G}}$ a $\mathbf{H}, \mathbf{G}$

I.  $\tilde{\mathbf{H}}, \tilde{\mathbf{G}}$  sú *decimačné matice* - najprv je signál konvolvovaný, potom podvzorkovaný (ukážeme na príklade  $\tilde{\mathbf{H}}$ ):

a) vyjadrením konvolúcie v maticovom tvare dostaneme

$$\tilde{\mathbf{H}}_{konv} = \begin{pmatrix} \tilde{h}(0) & \dots & \dots & \tilde{h}(3) & \tilde{h}(2) & \tilde{h}(1) \\ \tilde{h}(1) & \tilde{h}(0) & \dots & \dots & \tilde{h}(3) & \tilde{h}(2) \\ \tilde{h}(2) & \tilde{h}(1) & \tilde{h}(0) & \dots & \dots & \tilde{h}(3) \\ \tilde{h}(3) & \tilde{h}(2) & \tilde{h}(1) & \tilde{h}(0) & \dots & \dots \\ \dots & \tilde{h}(3) & \tilde{h}(2) & \tilde{h}(1) & \tilde{h}(0) & \dots \\ \dots & \dots & \tilde{h}(3) & \tilde{h}(2) & \tilde{h}(1) & \dots \\ \dots & \dots & \dots & \tilde{h}(3) & \tilde{h}(2) & \dots \\ \vdots & \vdots & \vdots & \vdots & \vdots & \ddots \end{pmatrix}$$

b) následným podvzorkovaním výstupu dostaneme

$$\bar{c} = (\tilde{\mathbf{H}}_{konv} \bar{x}) \downarrow 2 = \left( \tilde{\mathbf{H}}_{konv} \downarrow_{riadky} 2 \right) \bar{x} = \tilde{\mathbf{H}} \bar{x}$$

t.j.  $\tilde{\mathbf{H}}$  vytvoríme odstránením každého druhého riadku  $\tilde{\mathbf{H}}_{konv}$

II.  $\mathbf{H}, \mathbf{G}$  sú *interpoláčné matice*- signál je najprv nadzorkovaný, potom konvolvovaný, pre DP vetvu potom:

$$\hat{\bar{x}}_c = (\mathbf{H}_{konv})(\bar{c} \uparrow 2) = \left( \mathbf{H}_{konv} \downarrow_{stlp} 2 \right) \bar{c} = \mathbf{H} \bar{c}$$

, kde

$$H_{konv} = \begin{pmatrix} h(0) & \dots & \dots & h(3) & h(2) & h(1) \\ h(1) & h(0) & \dots & \dots & h(3) & h(2) \\ h(2) & h(1) & h(0) & \dots & \dots & h(3) \\ h(3) & h(2) & h(1) & h(0) & \dots & \dots \\ \dots & h(3) & h(2) & h(1) & h(0) & \dots \\ \dots & \dots & h(3) & h(2) & h(1) & \dots \\ \dots & \dots & \dots & h(3) & h(2) & \dots \\ \vdots & \vdots & \vdots & \vdots & \vdots & \ddots \end{pmatrix}$$

t.j. vytvoríme odstránením každého druhého stĺpca  $\mathbf{H}_{konv}$